



②側方変位がある程度収縮した後、右側の側方変位は、収縮を続けるが、左側は、その位置より膨張を起している。これは、左右の側方応力のバランスに若干、問題があるためと思われる。

### 3-2. 応力~ひずみ関係とせん断強度

図-4は、収縮側の側方変位無調整(A)の応力~ひずみ関係を示す。なお、図には同じ側圧( $\sigma_3 = 1.0 \times 10^3 \text{ kN/m}^2$ )の許容側方変位が  $200 < \delta_2 < 206$  (B)の密詰め砂の平面ひずみ結果と起緩詰め砂の三軸試験結果(C)も示す。図-4より次の諸点が認められる。

①Aの軸差応力( $\sigma_1 - \sigma_3$ )と軸ひずみ $\epsilon_1$ の関係において、軸ひずみ $\epsilon_1 \approx 1\%$ 程度で破壊しており、破壊付近では非常に不均質な勾配を描いている。

②ダライタシー特性については一貫して収縮側を示し、せん断破壊が密詰め砂(B)では膨張側で終っているのに対し収縮側で終っており起緩詰め砂の変形特性が認められる。また三軸試験と比べ間隙比が $\Delta e_0 \approx 0.1$ ほど小さいにもかかわらずより収縮側を示している。これは、側方変位が収縮側にでるため膨張変位は $\epsilon_3$ 方向に許されなためと思われる。図-5は、破壊時の軸差応力( $\sigma_1 - \sigma_3$ )と初期間隙比 $e_0$ の関係を示す。これより( $\sigma_1 - \sigma_3$ )は $3.4 \sim 3.7 \times 10^3 \text{ kN/m}^2$ の間にあり、密詰め砂( $0.3 \sim 0.6 \times 10^3 \text{ kN/m}^2$ )と比べ $2.9 \times 10^3 \text{ kN/m}^2$ ほど低い。

### 3-3. 応力経路

図-6は、収縮側の側方変位無調整(A)の応力経路を示す。なお図には、許容側方変位 $\delta_2$ が  $200 < \delta_2 < 206$  ( $\Delta e_2 \approx 0.25\%$ ) (B)も示す。図より、側方応力( $\sigma_2$ )は、起緩詰め砂の破壊時においては、起緩詰め砂(A)の方が密詰め砂(B)と比べ $0.5 \times 10^3 \text{ kN/m}^2$ ほど高い。このことについては次の章で述べる。

## 4. 側方変位に関する問題点および今後の改良点

### 4-1. 側方変位に関する問題点

本実験において収縮側の側方変位がでるにもかかわらず密な砂と比べ高い側方応力( $\sigma_2$ )を示すという結果が出た。これは、図-7のように考えられる。 $\sigma_1$ を加えると供試体が緩いため供試体上部では密な層が形成される。この時、上部載荷板と側方載荷板のすまがほとんどなく、なおかつ図-3に示したように側方載荷板が全体としては収縮しようとしている為、この密な層が側方載荷板上部を左右に押し広げ、ロードセルに曲げを生じさせる。このロードセルの曲げの影響が応力経路に表れたと考えられる。なお、供試体が密な場合においては側方載荷板全体の動きは膨張側であり、破壊時の軸ひずみ $\epsilon_1$ も小さいためロードセルの曲げの影響は無視し得ると思われる。

### 4-2. 今後の改良点

4-1で述べた問題点をなくすために、図-8のように側方載荷板を浮動タイプにして、長さを長くし、その両端にロードセルをつける。また側方載荷板の間に上部載荷板、パテスタルをはさむ。このようにすればロードセルに曲げがかかるおそれはないと思われる。

## 5. 終りに

今後、4-2で述べたような改良を行って同様の実験を進めていきたい。最後に試験機を作製してくださった橋本氏、昨年の卒業生、北浦実、高木孝一両君および一緒に実験を行っている今年の卒業生、若谷昌宏、串田直隆、中村孝、井原雄輝君等に深く感謝いたします。

### <参考文献>

- ① 徳江 長谷川、佐木「砂の平面ひずみ条件(側方変位拘束条件)に関する基礎的検討」第9回環境工学論文発表会
- ② 徳江 古川「起緩詰め砂の補強特性」第9回環境工学論文発表会

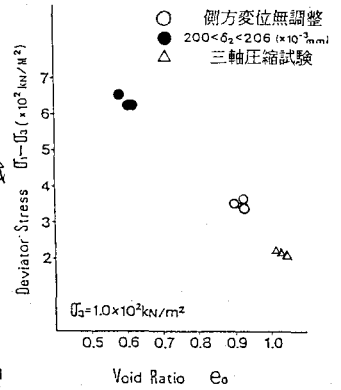


図-5

破壊時の軸差応力と間隙比の関係

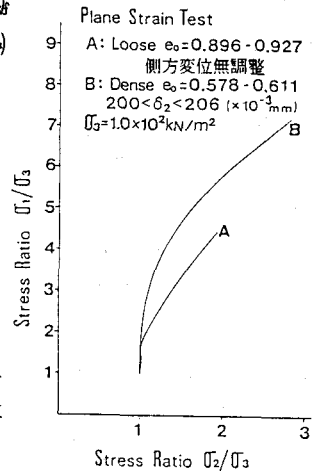


図-6 応力経路

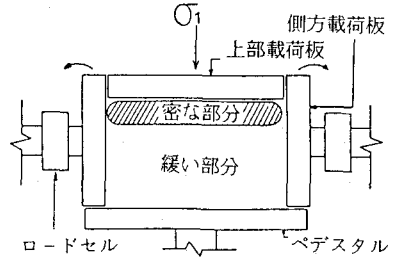


図-7 ロードセルに曲げが加わる状態図

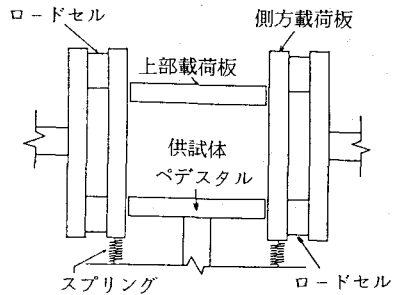


図-8 改良型載荷板予定図